

9379

Bibl. Jaz.

IV



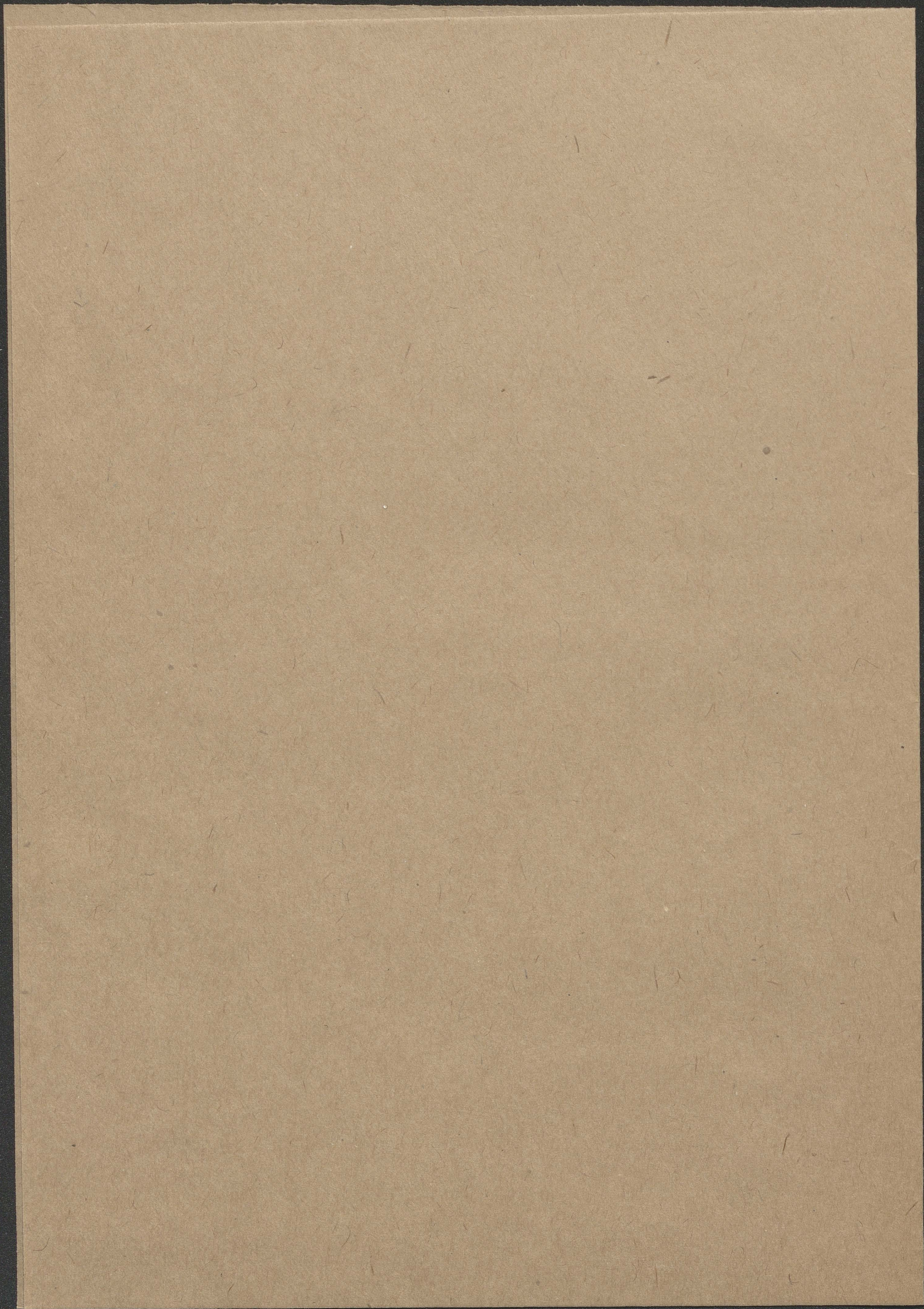


9379

IV

M. Suomalainen

• Üb. d. zeitliche Veränderlichkeit



Über die zeitliche Veränderlichkeit der Gruppierung von Emulsionsteilchen und die Reversibilität der Diffusionserscheinungen. *)

Lab. Phys. Zeit. 1915 S. 321-27
Bibl. Jag.

von

M. v. Smoluchowski

Physikalische Zeitschrift.
Manuscript Nr. 3777
Figuren: —
Eingegangen: 1. IV. 15
Korrektur an: Prof. Philipp von Minnigerode.

§1. Problemstellung.

Die bisherigen Untersuchungen über Dichte- und Konzentrations-schwankungen von Gasen, kolloidalen Lösungen und Emulsionen waren auf Ermittlung des Gesetzes gerichtet, welches die Wahrscheinlichkeit einer gewissen Abweichung von vollständiger homogener Teilchenverteilung bestimmt. Im Grenzfall eines idealen Gases, beziehungsweise einer verdünnten Emulsion, gilt hierfür, wie ohnehin seit langem bekannt, das einfache Gesetz:

$$W(n) = e^{-\nu} \frac{\nu^n}{n!}$$

--- (1)

wo ν die bei homogener Verteilung auf das betrachtete Volumen entfallende Teilchenzahl, n jene Anzahl bedeutet, deren Wahrscheinlichkeit erwoogen wird.

Daraus folgt für das mittlere Schwankungsquadrat der prozentuellen Verdichtung δ die seitdem viel benützte Formel:

$$\overline{\delta^2} = \left(\frac{n-\nu}{\nu}\right)^2 = \frac{1}{\nu}$$

--- (2)

welche, ebenso wie (1) an verschiedenartig verdünnten Emulsionen sowohl mittels subjektiver Zählungen (Svedberg, Westgren, Tiljn) wie auch photographischer Aufnahmen (Perrin und Costantin) experimentell bestätigt worden ist.

Als Beispiel, welches uns auch weiterhin als Anhaltspunkt dienen wird, mag eine von Svedberg ^{***)} explizite mitgeteilte Zahlenreihe dienen, welche die Anzahl von Teilchen angibt, die in einer 2 μ dicken Schichte einer kolloidalen Goldemulsion bei intermittierender Beleuchtung (in Intervallen von $\frac{1}{39}$ Minute) beobachtet wurden. Diese Zahlenreihe, von der hier nur der Anfang angeführt sei: 1 2 0 0 0 2 0 0 1 3 2 4 1 2 3 1 0 2 1 1 1 1 3 1 1 2 5 1 ... zeigt, dass die Teilchenzahl in diesem Falle sehr rasch schwankt. Wird dagegen die Zähigkeit

*) ~~Arbeit nach zwei Anspruchsweise~~ mitgeteilt nach zwei Arbeiten, von denen die eine in den ~~Annalen der Physik~~ Wien. Ber. 123, 2381, 1914 erschienen ist, die andere ~~in~~ ⁱⁿ ~~dem~~ ^{dem} ~~Annalen der Physik~~ ^{Annalen der Physik} Bd. 124 (1915) erschienen wird.

**) Literaturangaben: M. v. Smoluchowski, Phys. ZS. 13, 1069, 1912; Th. Svedberg, ~~Annalen der Physik~~ ^{Annalen der Physik} Bd. 10, 467, 1913

Siehe ausserdem: R. Lorenz u. W. Eitel, Ber. f. phys. Chem. 87, 293, 434, 1914; R. Costantin, C. R. 158, 1341, 1914.

***) Th. Svedberg, Z. S. f. phys. Chem. 77, 147, 1911.

[Faint, illegible handwriting throughout the page, likely bleed-through from the reverse side. The text is mirrored and difficult to decipher.]

[A small, rectangular piece of paper or tape is attached to the bottom center of the page.]

des flüssigen Mediums durch Zusatz von Zucker, Glycerin, Harnstoff u. dergl. erhöht, so bleibt zwar die Häufigkeitsverteilung der verschiedenen Zahlen (1) und der Betrag der mittleren Abweichung unverändert, aber die Geschwindigkeit der Schwankungen ist stark herabgesetzt.

Als Mass dieser zeitlichen Veränderlichkeit der Teilchenzahl, welche offenbar mit der Geschwindigkeit der Brown'schen Bewegung der Teilchen zusammenhängt, setzt man am besten den durchschnittlichen Betrag des Quadrates des Unterschieds je zweier aufeinanderfolgender Zahlen fest.

Das Problem, welches durch dieses Beispiel nahegelegt wird, besteht nun darin, die Grösse dieses Änderungsquadrates sowie überhaupt die relative Häufigkeit einer jeden vorgegebenen Änderung der Teilchenzahlen zu bestimmen. Es ist das ein ~~Problem~~ wesentlich schwierigeres Problem als das vorher besprochene, denn während die Grösse der Schwankungen von einem ganz allgemeinen Verteilungsgesetz der statistischen Mechanik beherrscht wird, hängt die Schwankungsgeschwindigkeit von der Art der Schwankungen und dem individuellen Charakter des betreffenden Systems ab.

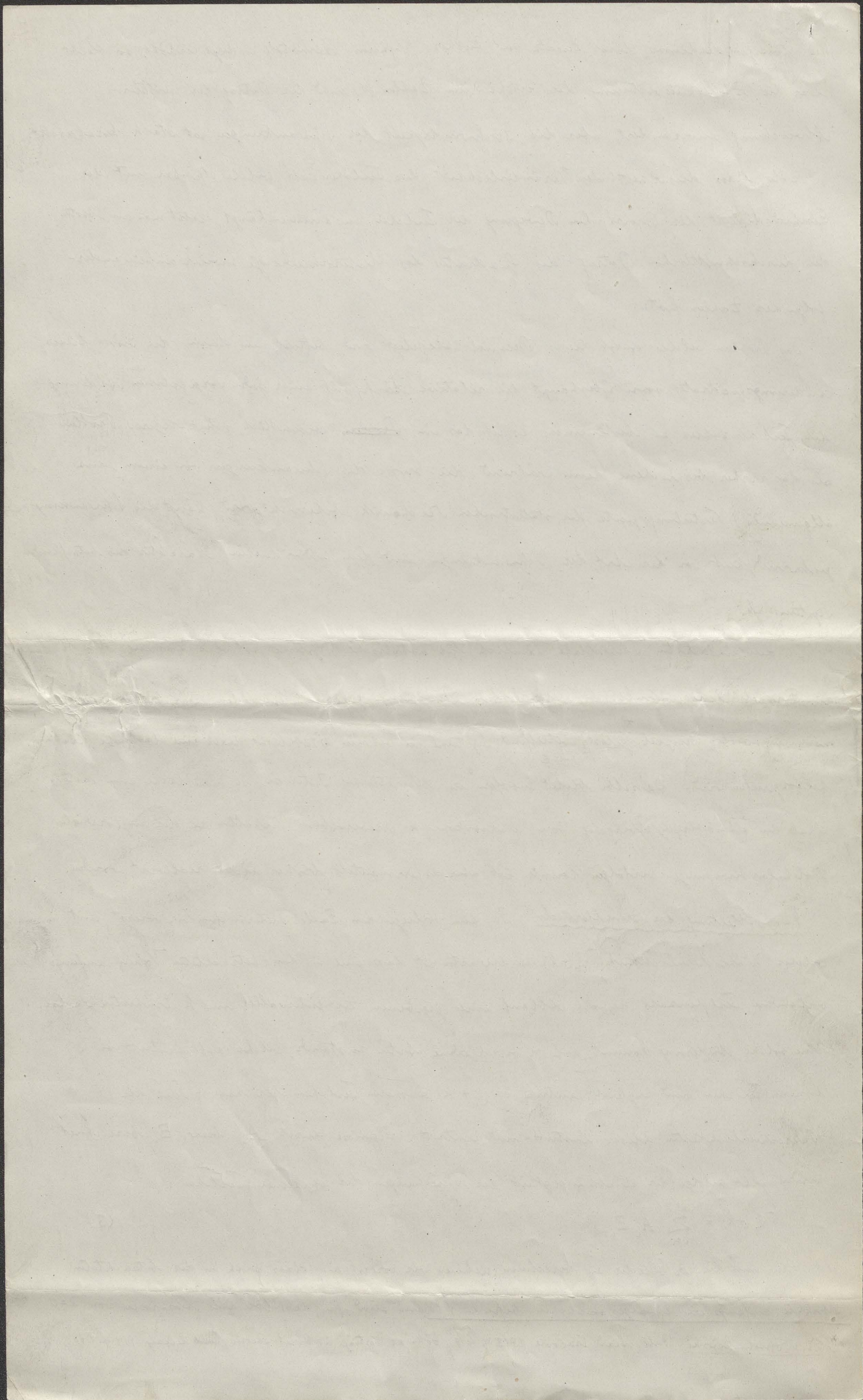
In dem einfachsten Specialfall, nämlich für ostatische Systeme, ist die Lösung durch die Formeln der gewöhnlichen Brown'schen Bewegung gegeben. Ausserdem war bisher ~~noch~~ noch ein weiteres Beispiel ^{*)} gelöst, betreffend Systeme in welchen Stabilität durch eine elastische Kraft hervorgerufen wird. Dasselbe bietet insofern ein theoretisches Interesse, da man daran zum ersten Mal den allmählichen Übergang vom makroskopisch irreversiblen Verhalten zu der ungeordneten Molekularbewegungen verfolgen konnte, ist aber experimentell bisher nicht realisiert worden.

§2. Ableitung der Grundformeln. In dem vorliegenden Falle untersuchen wir vorerst, mit welcher Wahrscheinlichkeit $W_n(t+k)$ zu erwarten ist, dass eine in dem betrachteten Volumen anfangs vorhandene Teilchenzahl n nach Ablauf eines gegebenen Zeitintervalles um k Einheiten wachse. Eine solche Änderung kommt auf n verschiedene Arten zustande, welche auf Austritt von i inneren Teilchen und zugleich Eintritt von $(i+k)$ äusseren Teilchen beruhen. Wenn die Wahrscheinlichkeiten dieser Austritt- und Eintritt-Ereignisse durch A_i bzw. E_{i+k} bezeichnet werden, gilt infolge der Unabhängigkeit der Bewegungen der einzelnen Teilchen:

$$W_n(t+k) = \sum_{i=0}^{i=n} A_i E_{i+k} \quad \text{----- (3)}$$

Um nun die A Glieder zu berechnen, nehmen wir vorerst an, dass sich in der betrachteten Schichte anfangs ein einziges Teilchen befinde; dann sind für dasselbe alle Abszissen von $x=0$

*) M. v. Smoluchowski, Bull. Acad. Cracovie 1913 p. 418, Göttinger Vorträge u. kinet. Theorie, Leipzig 1914 p. 87.



bis $x=h$ gleich wahrscheinlich. Da nun gemäß den Formeln für Brownsche Bewegung die Wahrscheinlichkeit, dass während der Zeit t eine Verschiebung $\xi \dots \xi + d\xi$ erfolge, gegeben ist durch:

$$W(\xi) d\xi = \frac{1}{\sqrt{2\pi Dt}} e^{-\frac{\xi^2}{4Dt}} d\xi \quad \dots \dots \dots (4)$$

wo der Diffusionskoeffizient D im Falle kugelförmiger Teilchen sich aus der Relation bestimmt:

$$D = \frac{HT}{N} \frac{1}{6\pi\eta a}$$

so wird die Wahrscheinlichkeit für den Austritt jenes Teilchens aus der Schichte h nach/der einen oder anderen Seite hin bestimmt sein durch:

$$P = 2 \int_0^h dx \int_x^\infty W(\xi) d\xi = 1 - \frac{2}{\sqrt{\pi}} \int_0^\beta e^{-y^2} dy + \frac{1}{\beta\sqrt{\pi}} [1 - e^{-\beta^2}] \quad \dots \dots \dots (5)$$

wobei zur Abkürzung $\beta = \frac{h}{\sqrt{2Dt}}$ gesetzt ist.

Wenn aber in jener Schichte anfangs nicht eines sondern n Teilchen vorhanden sind, so wird die Wahrscheinlichkeit, dass i beliebige darunter austreten und die übrigen $(n-i)$ in derselben verbleiben, mit Rücksicht auf alle möglichen Kombinationen betragen:

$$A_i = \binom{n}{i} P^i (1-P)^{n-i} \quad \dots \dots \dots (6)$$

Wäre uns andererseits die anfängliche Anzahl der Teilchen n gar nicht gegeben, sondern wollte man unter Voraussetzung eines stationären Zustandes berechnen, mit welcher Wahrscheinlichkeit im Allgemeinen der Austritt von m Teilchen in der Zeit t zu erwarten ist, so würde hierfür mit Rücksicht auf das Verteilungsgesetz (1) resultieren:

$$\bar{A}_m = \sum_{n=m}^\infty W_n A_m = \frac{(vP)^m}{m!} e^{-vP} \quad \dots \dots \dots (7)$$

Genau dieselbe Formel muss aber auch für die von der Anzahl der bereits anwesenden Teilchen ganz unabhängige Eintrittswahrscheinlichkeit äußerer Teilchen E_m gelten, da im stationären Zustand der Vorgang des Aus- und Eintrittes gleichberechtigt ist. Somit nimmt nunmehr die Formel (3) die endgiltige Gestalt an:

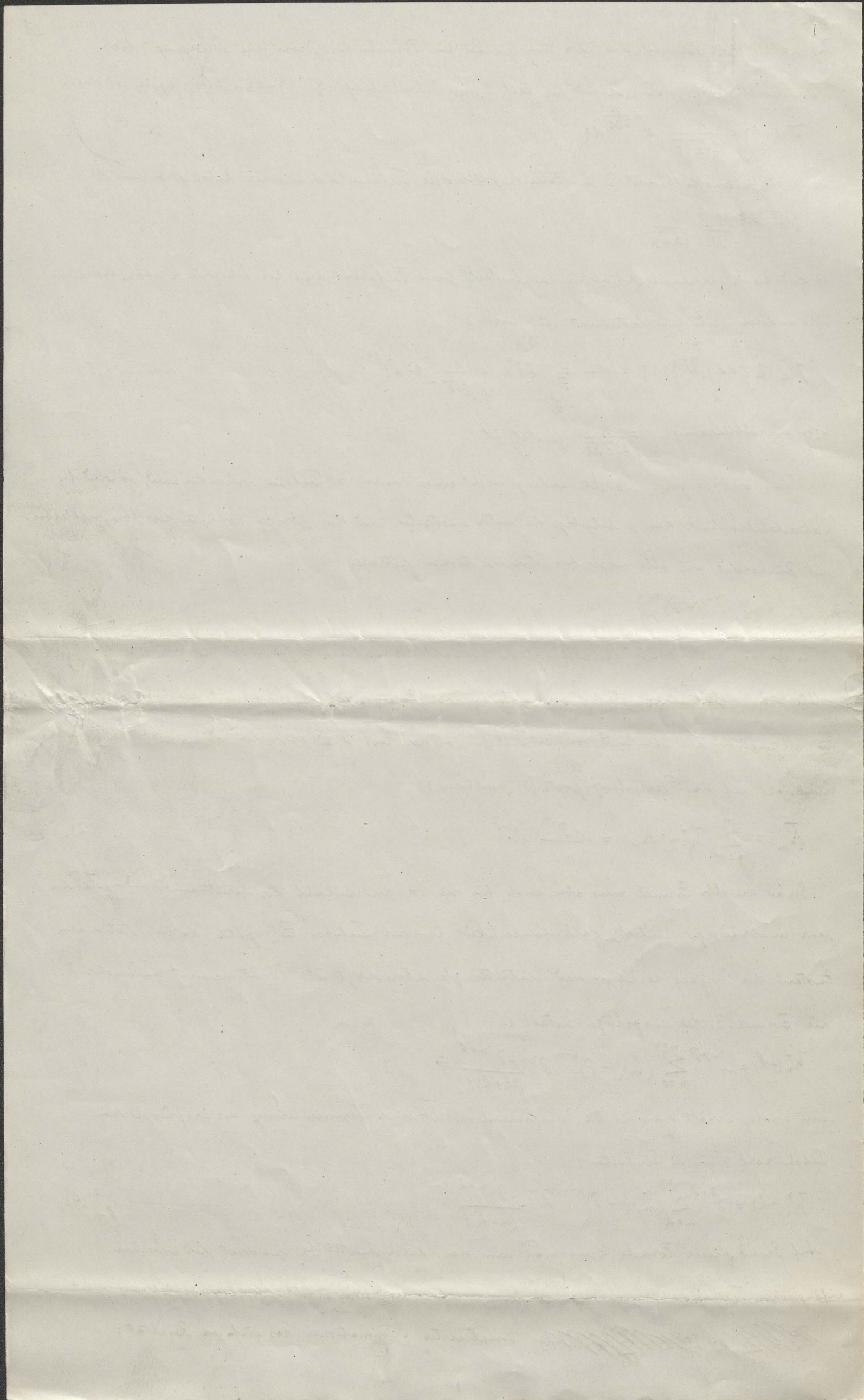
$$W_n(+k) = e^{-vP} \sum_{m=0}^{m=n} \binom{n}{m} (1-P)^{n-m} P^m \frac{(vP)^{m+k}}{(m+k)!} \quad \dots \dots \dots (8)$$

und analog erhält man für die Wahrscheinlichkeit einer Verminderung der ursprünglichen Teilchenzahl n um k Einheiten:

$$W_n(-k) = e^{-vP} \sum_{m=k}^{m=n} \binom{n}{m} (1-P)^{n-m} P^m \frac{(vP)^{m-k}}{(m-k)!} \quad \dots \dots \dots (9)$$

Auf Grund dieser Formeln kann man nun das durchschnittliche Quadrat der zu einer anfänglichen Teilchenzahl n gehörigen Änderung bilden und zwar ergibt sich nach Ausföhrung recht

~~komplizierter~~ Summationen das einfache Resultat:



~~Das geometrische Mittelwert kann sich die Summationen annehmen und ergeben das einfache~~

Resultat:

$$\overline{\Delta_n^2} = [(n-v)^2 - n] P^2 + (n+v) P \tag{10}$$

was schliesslich für eine unbestimmte Anfangszahl n mit Rücksicht auf (1) das allgemeine Änderungsquadrat resultiert:

$$\overline{\Delta^2} = \sum W(n) \overline{\Delta_n^2} = 2vP \tag{11}$$

In ähnlicher Weise erhält man den durchschnittlichen Betrag der im Intervall t erfolgenden Änderung:

$$\overline{\Delta_n} = (v-n) P \tag{12}$$

Lässt man aber hierbei sämtliche Zahlen n nach Massgabe des Häufigkeitsgesetzes (1) zu, so resultiert natürlich der allgemeine Durchschnittswert ~~Null~~ Null: $\overline{\Delta} = 0$.

~~Resultat~~

§ 3. Diskussion und Vergleich mit Svedberg's Messungen.

~~Was nun die Diskussion dieser~~

~~Ergebnisse anbetrifft, so bemerken wir~~ ^{Demerkenswert ist} (vor Allen, dass die Formel (12) genau mit dem Resultate

übereinstimmt, welches für unseren Fall die gewöhnliche Diffusionstheorie liefert, ~~z.B.~~ wenn

man die in der Zeit t erfolgende Änderung des Inhaltes einer ~~anfänglich~~ Schicht h berechnet, welche anfänglich die gleichförmige Konzentration $\frac{n}{h}$ besitzt und von einem unbegrenzten Medium anderer

Konzentration ($\frac{v}{h}$) umgeben ist. Dies ist auch leicht verständlich, da die Formel (1) das Quellen-

Integral der Differentialgleichung der Diffusionstheorie bildet und ~~folglich~~ unser Beispiel

sowasagen die mikroskopische Analyse des Diffusionsvorganges darstellt.

Dagegen ist (11) mit der Einstein'schen Formel der Brown'schen Bewegung $\overline{\Delta x^2} = 2Dt$ in Parallele

zu setzen. Die Abhängigkeit von der Zeit ist allerdings eine ganz andere; da es sich um ein statisches

System handelt, konvergiert (infolge $\lim_{t \rightarrow \infty} P = 1$) das Veränderlichkeitsquadrat mit Wachsen der Zeit-

Intervalle gegen einen festen Grenzwert: $\overline{\Delta^2} = 2v$. Derselbe muss natürlich doppelt so gross sein als

das Schwankungsquadrat $(n-v)^2 = v$ (vgl. 2), da für genügend lange Intervalle die Schwankungen

in den betreffenden zwei Momenten ~~von~~ von einander unabhängig ~~werden~~ werden.

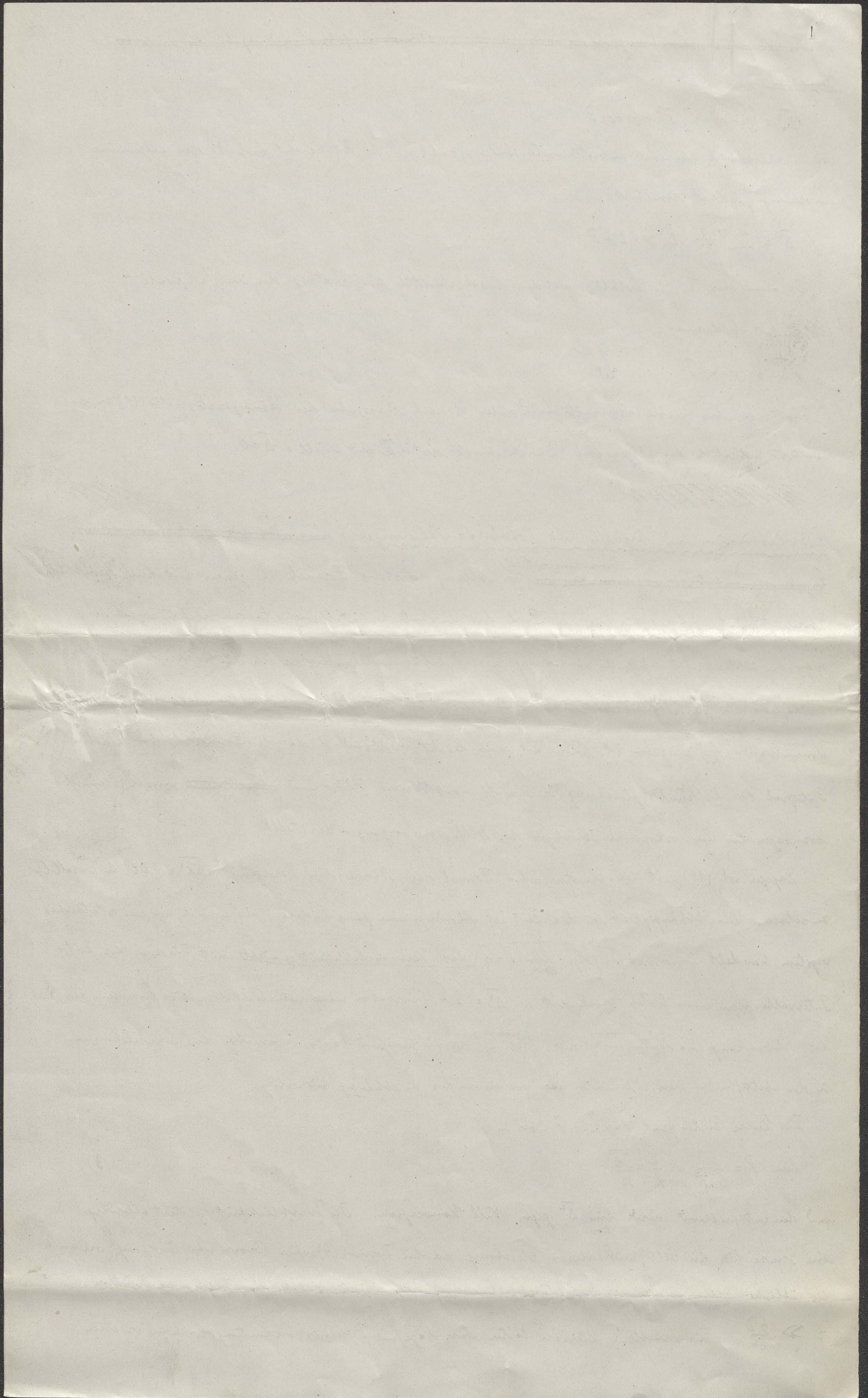
Für kurze Zeiten geht dagegen P über in:

$$\lim P = \frac{1}{\beta \sqrt{v}} = \frac{2}{h} \sqrt{\frac{Dt}{v}} \tag{13}$$

und dementsprechend wird $\lim_{t \rightarrow 0} \overline{\Delta^2}$ gegen Null konvergieren. In Wirklichkeit existiert allerdings

eine Grenze für die Gültigkeit dieser Gleichung, da die Formel (4) für Brown'sche Bewegung, wie auch die übliche Diffusionstheorie, nur für Zeiten anwendbar sind, welche die Bedingung erfüllen:

$t \gg \frac{6D}{c^2}$. Für erheblich kürzere Zeiten wäre dagegen P seiner Bedeutung nach zu ersetzen



*) durch den Ausdruck: $\lim_{t \rightarrow \infty} P = \frac{2Ct}{h\sqrt{6n}} \dots \dots \dots (14)$

Wenn man nun eine Vergleichung unserer Theorie mit dem Svedberg'schen Zählmaterial aufzuführen, bilden wir die Quadratsumme der Differenzen je zweier aufeinanderfolgender Zahlen der eingangs erwähnten Zählreihe, was $\bar{\Delta}^2 = 225$ ergibt; mit Rücksicht auf (11) und den Wert des Zahlenmittels $v = 1.55$ sollte also der bestmögliche Koeffizient $P = 0.726$ betragen. Andererseits folgt aus der Formel (4) für $\mu = 0.0107$, $a = 19 \mu\mu$, $N = 6.06 \cdot 10^{23}$ der Wert des Diffusionskoeffizienten der Goldteilchen $D = 1.04 \cdot 10^{-7}$ und hieraus erhält man mittels näherungsweise Lösung von (5) die theoretischen Werte $\beta = 0.25$ und $P = 0.86$.

Da die als Grundlage der Rechnung dienenden Größen nur belläufig bestimmt wurden, ist die Übereinstimmung wohl ganz genügend zu nennen, umso mehr als Svedberg bei seinen mittels Tierschmelzflüssigkeit hergestellten Goldsolen eine wahrscheinlich infolge Abweichung der Teilchen von der Kugelgestalt herrührende Verlangsamung der Brown'schen Bewegung konstatierte, die hier in dem eben beobachteten Sinne wirken müsste.

Wollen wir nun auch die Formel (10), sowie die Grundformeln unserer Theorie (8/9), kontrollieren, so legen wir am besten eine Statistik der 512 in jener Reihe enthaltenen Ambo-Gruppen (bestehend aus je zwei aufeinanderfolgenden Zählern) an. Die Ergebnisse derselben, nämlich die experimentellen Anzahlen der verschiedenen n, m -Gruppen sind in der Tafel I verzeichnet und zum Vergleich sind die unter Annahme des Wertes $P = 0.726$ theoretisch zu erwartenden Werte demuntergesetzt. Letztere resultieren offenbar aus dem Produkt der Gesamtzahl der Gruppen mit der nach (1) zu berechnenden Wahrscheinlichkeit $W(n)$, dass die Zahl n erscheine, und mit der durch (8/9) bestimmten Wahrscheinlichkeit ~~W(n,m)~~ $W(n,m)$, dass hierauf die Zahl m folge.

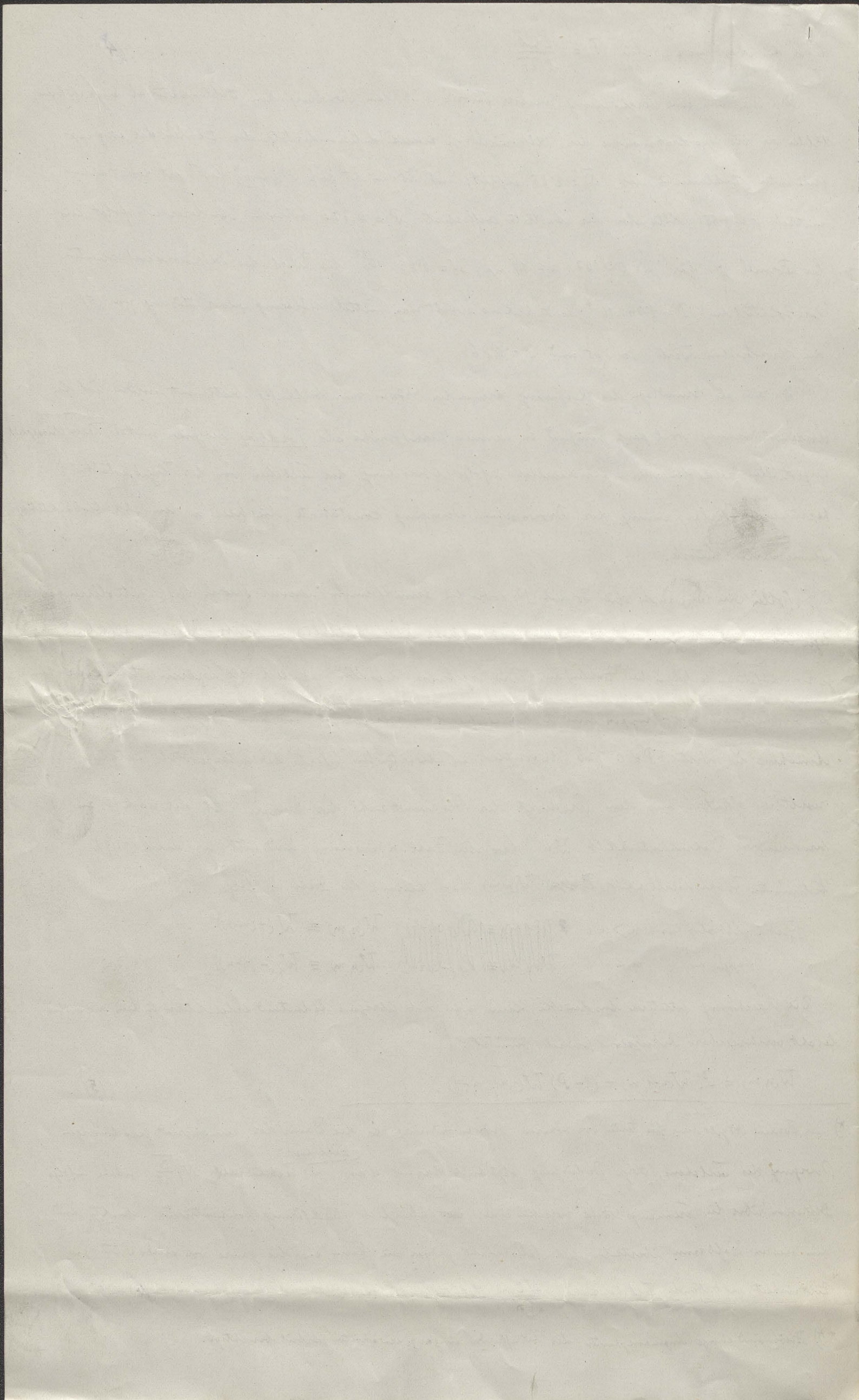
Hierbei gilt also für $m > n$: $W(n,m) \equiv W_n(+ (m-n))$
 dagegen für $m < n$: $W(n,m) \equiv W_n(- (n-m))$

Die Berechnung letzterer Ausdrücke kann man sich übrigens bedeutend erleichtern, indem man die leicht verifizierbare Rekursionsformel benützt:

$$W(n,m) = P \cdot W(n-1, m) + (1-P) W(n-1, m-1) \dots \dots \dots (15)$$

*) Die Formel (4) gilt ^{nämlich} nur für Zeiten von höherer Größenordnung als die Dauer der „annähernd geradlinigen Bewegung“ des Teilchens. Obige Bedingung folgt auch daraus, dass die ^{Zahl der} Teilchen ~~unter~~ $N \sqrt{\frac{D}{\pi t}}$, welche infolge Diffusion über die Trennungsfäche zwischen einer ~~an~~ anfänglich gleichförmig konzentrierten Schicht mit dem leeren Halbraum überströmen, jedenfalls nicht größer sein kann als die ganze von einer Seite pro Zeiteinheit auftreffende Teilchenzahl $\frac{NC}{\sqrt{6n}}$. Letzterer Ausdruck tritt in dem Grenzwert (14) auf.

**) Hierbei sind einige Ungenauigkeiten der betreffenden eingangs erwähnten Arbeit berücksichtigt.



Auf Grund jener Statistik ermittelt man sodann die Werte $\overline{\Delta_n^2}$, indem man für jedes n das Quadratmittel der Differenzen desselben in Bezug auf die nachfolgenden m bestimmt. Diese erhaltenen experimentellen Werte sind zum Vergleich mit den nach Formel (10) berechneten in der Tabelle II zusammengestellt.

I. Häufigkeitszahlen der verschiedenen Gruppen (n, m)

$m =$		0	1	2	3	4	5	6	7
0	exp.	45	35	19	7	5	—	—	—
	ber.	35.3	39.7	22.3	8.3	2.4	0.5	0.7	—
1	exp.	40	55	40	17	10	1	—	1
	ber.	39.7	59.6	42.0	18.9	6.2	1.6	0.3	0.7
2	exp.	19	42	35	24	6	2	1	—
	ber.	22.3	42.0	36.3	19.5	7.5	2.2	0.5	0.1
3	exp.	6	23	22	13	5	—	—	—
	ber.	8.3	18.9	19.5	12.5	5.6	2.9	0.5	—
4	exp.	2	8	10	4	6	2	—	—
	ber.	2.4	6.2	7.5	5.6	2.9	1.7	0.3	—
5	exp.	—	1	2	2	—	—	—	—
	ber.	0.5	1.6	2.2	1.9	1.1	0.5	0.2	—

II. Werte des Änderungsquadrates $\overline{\Delta_n^2}$.

$n =$		0	1	2	3	4	5
$\overline{\Delta_n^2}$	exp.	2.29	1.77	1.55	2.51	4.70	8.40
	ber.	2.39	1.48	1.63	2.93	5.08	8.39

Die Übereinstimmung des theoretischen und experimentellen Zahlenbildes ist wohl sehr befriedigend, so gut als man es bei der nicht sehr grossen Anzahl von Beobachtungen und dem hierdurch gesteigerten Einfluss zufälliger Abweichungen nur erwarten kann.

§ 4. Begriff der Wiederkehrzeit. Reversibilität der Diffusion. Durch Vergleich der Entwicklungen (8) (9) kann man leicht nachweisen, dass die Identität besteht: $W(n, m) \equiv W(m, n)$, dass also in der Tabelle I die beiderseits der Diagonale 00-55 symmetrisch ~~gelegenen~~ liegenden Werte gleich sind. Wie also von vorn herein zu erwarten war, ist im stationären Zustand die Wahrscheinlichkeit, dass auf eine Teilchenzahl n ein m folge, ebenso gross wie die Wahrscheinlichkeit, dass jener Zahl n in einem gleich grossen Zeitintervall ein m vorausgegangen sei. Darin äussert sich offenbar die Umkehrbarkeit der Zeitfolge, welche von Zoschwendt als allgemeine Eigenschaft der konservativen Systeme erkannt worden war. Derartige diffusive Konzentrationsänderungen sind also natürlich immer prinzipiell reversibel.

Dass die Diffusion trotz dem unter gewissen Bedingungen scheinbar in irreversibler Weise verläuft, können wir begreifen, wenn wir die Länge der Wiederkehrzeit ~~eines physikalisch beobachtbaren Zustandes~~ berechnen. Unter „durchschnittlicher Wiederkehrzeit“ eines physikalisch beobachtbaren Zustandes, der durch einen gewissen Parameterwert gekennzeichnet ist, wollen wir nämlich die Länge des Zeitraumes verstehen, welcher durchschnittlich vom Aufhören jenes Zustandes bis zu dessen nächstem Wiedereintritt verfließt ^{*)} (wobei die Durchschnittsbildung sich auf sämtliche Eintritts-Ereignisse bezieht).

Nehmen wir also einen bestimmten Wert n der Teilchenzahl in Betracht; es sei dann N_k die innerhalb eines gewissen, sehr langen Zeitabschnittes auftretende Anzahl Fälle, welche durch gerade $(k-1)$ fache Wiederholung der betreffenden Zahl charakterisiert sind und analog sei M_k die Anzahl der Fälle, wo die betreffende Zahl gerade während k Intervalle nicht erscheint.

Dann wird jene Wiederkehrzeit θ_1 (welche auch als durchschnittliche Dauer des Nicht- n -Zustandes bezeichnet werden könnte) dargestellt durch:

$$\theta_1 = \tau \frac{M_1 + 2M_2 + 3M_3 + \dots}{M_1 + M_2 + M_3 + \dots} \quad (16)$$

wo τ die Dauer eines Intervalls bedeutet.

Andererseits lässt sich die Größe $W(n)$, sowie die Wahrscheinlichkeit ~~W~~ $W_n(0)$, dass ein schon vorhandener n -Wert ~~in~~ im nächsten Intervalle wiederum auftritt, ausdrücken durch:

$$W(n) = \frac{N_1 + 2N_2 + 3N_3 + \dots}{N_1 + 2N_2 + 3N_3 + \dots + M_1 + 2M_2 + 3M_3 + \dots} \quad (17)$$

$$W_n(0) = \frac{N_2 + 2N_3 + 3N_4 + \dots}{N_1 + 2N_2 + 3N_3 + \dots} \quad (18)$$

~~wobei die Summen alle von $k=1$ bis zum größt möglichen k Wert~~

Wenn man nun berücksichtigt, dass $\sum N_k = \sum M_k$ sein muss, so ergibt sich aus diesen drei Formeln der von uns gesuchte Wert der Wiederkehrzeit:

$$\theta_1 = \frac{\tau}{W(n)} \frac{1 - W(n)}{1 - W_n(0)} \quad (19)$$

Auch diese Formel kann an der Svedberg'schen Zahlenreihe geprüft werden, und zwar ergibt die ~~empirische~~ empirische Bestimmung von θ_1 auf Grund der Definition (16) und die Berechnung nach (19) bei Annahme der Intervalldauer τ als Einheit, folgendes Bild:

$n =$	0	1	2	3	4
θ_1 exp.	4.48	3.09	3.98	7.13	16.0
θ_1 ber.	5.54	3.16	4.05	8.09	20.9

*) In etwas abweichender Weise habe ich diesen Begriff loc. cit. (Göttinger Vorlesänge p. 110) eingeführt; obige Fassung ist wohl geeigneter. Der von Notthmann für einen gewissen Fall berechnete Poinscot'sche Quasi-Periodizitäts-Zyklus hat demgegenüber nur eine abstrakte Bedeutung, da bei demselben die physikalisch nicht beobachtbare Individualität der Moleküle eine wesentliche Rolle spielt.

[The page contains extremely faint, illegible handwriting, likely bleed-through from the reverse side. The text is too light to transcribe accurately.]

Diese ~~Zahlen~~ Vergleichung ist aus leicht ersichtlichen Grunde mehr von zufälligen Fehlern *) beeinflusst als die Tabellen I, II, aber im Allgemeinen wird die Sironenordnung und der theoretische Verlauf genügend bestätigt.

Die größte Zahl welche unter den 518 von Svedberg gemessenen vorkam, war 7.)

Nun wollen wir berechnen, in welchen Zeiträumen man erwarten könnte, ~~die~~ die Wiederholung eines mehr abnormen ^(Anfangs-) Zustandes, beispielsweise der Zahl 17, konstatieren zu können. Für welche Fälle reduziert sich (19) in Folge der Kleinheit von $W_n(0)$ und $W(n)$ auf:

$$\theta_1 = \frac{\tau}{W(n)} \quad \dots (20)$$

und dies ergibt für $n=17$ einen Zeitraum von $10^{13} \tau$, d. i. circa 500.000 Jahre, falls man die Messungen in demselben Tempo fortsetzen würde, wie es Svedberg tat ~~(HAAAAAAAAAAAAA)~~. Bei einem so abnormalen Anfangswert wäre man also ganz berechtigt, die Diffusion der kolloidalen Lösung als irreversibel anzusehen, da man eine Wiederkehr des Anfangszustandes nie erleben würde.

Nun überlegen wir noch, wie sich die Sache ändern würde, falls man an Stelle der intermittierenden eine kontinuierliche Beobachtungsmethode anwenden würde. Die praktische Ausführung wäre in jenen Beispiele wohl sehr schwierig, da bei dauernder Beobachtung das menschliche Auge ~~den~~ den raschen Teilchenverschiebungen ^{doch} gar nicht zu folgen vermöchte, aber uns interessiert vorderhand nur die prinzipielle Seite der Frage.

Für kurze Intervalle τ geht (8) (9) über in

$$\lim W_n(0) = 1 - (n+1)P \quad \dots (21)$$

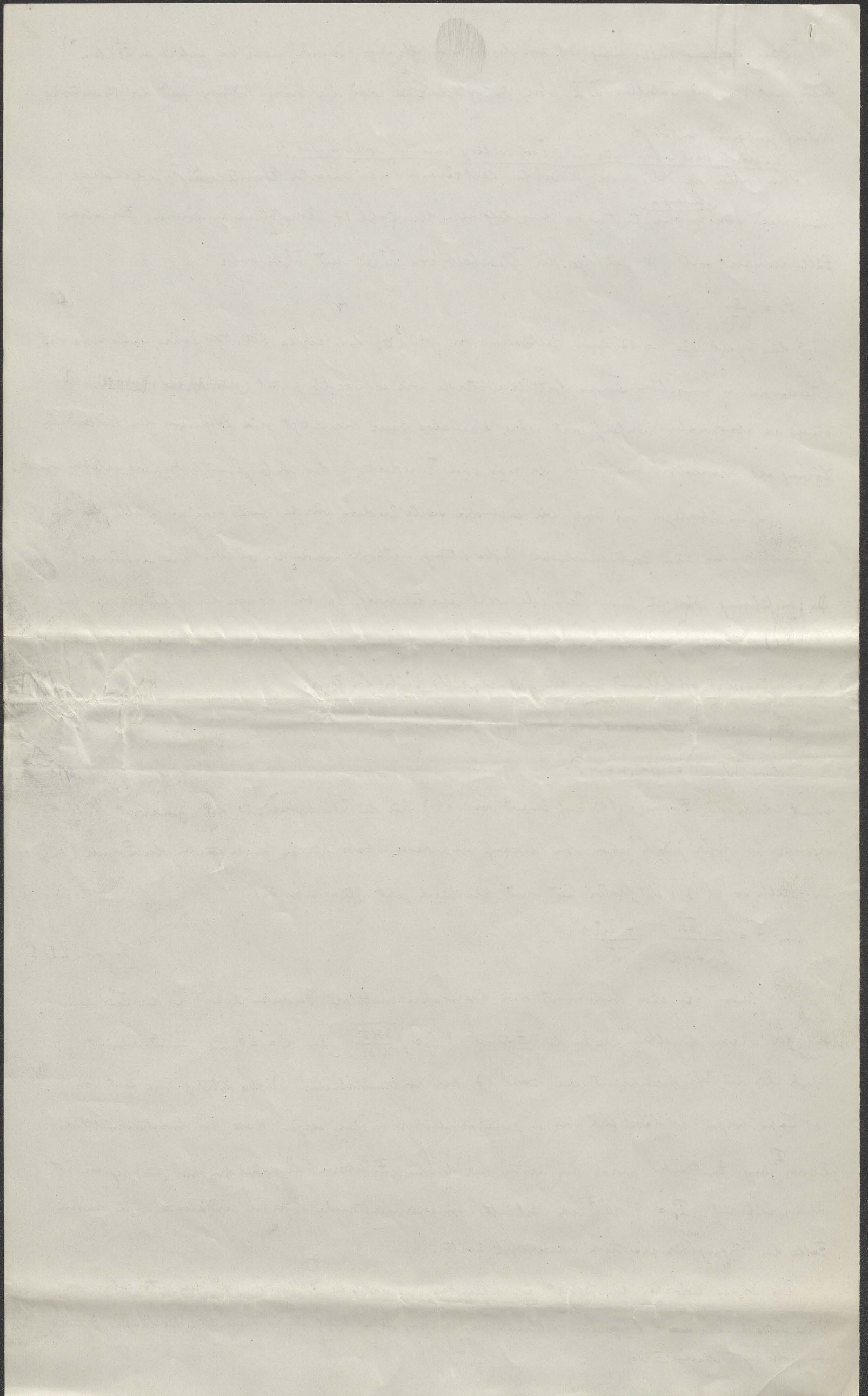
somit würde die Formel (19) auf Grund von (13) für die Wiederkehrzeit den Grenzwert Null ergeben. Es wurde jedoch schon oben darauf hingewiesen, dass für so kurze Zeiten die Formel (14) an Stelle von (13) zu treten hat und hierdurch geht ~~(19)~~ ⁽¹⁹⁾ über in:

$$\lim \theta_1 = \frac{h \sqrt{6\pi}}{2(n+1)C} \frac{1 - W(n)}{W(n)} \quad \dots (22)$$

In jenen Versuchen bestimmt sich die wahre mittlere Geschwindigkeit C der Teilchen aus der Masse derselben gemäß der Formel: $C = \sqrt{\frac{3kT}{N\mu}}$ zu $C = 26 \frac{\text{cm}}{\text{sek.}}$, und hiermit würde für die Wiederkehrzeit der Zahl 17 bei kontinuierlicher Beobachtung eine Zeit von 161 Tagen folgen. Es lässt sich aber in ganz ähnlicher Weise zeigen, dass die durchschnittliche Dauer T_1 jenes Zustandes durch den ersten der beiden Faktoren des Ausdruckes (22) gegeben ist, welcher sich auf $T_1 = 9 \cdot 10^{-7}$ Sek. beläuft. Ein experimentierender Physiker wird also auch in diesem Falle den Vorgang ^{woll} (für praktisch irreversibel halten).

Die Grenze zwischen dem Gebiet der scheinbar irreversiblen Diffusion und den automatischen

*) Die Tatsache, dass ~~man~~ nur begrenzte Zahlenreihen zur Verfügung stehen, bildet überdies, namentlich für längere θ Zeiten, eine Quelle systematischer Fehler.



Konzentrations schwankungen ist aber noch weit scharfer ausgeprägt, wenn es sich nicht um einige wenige Teilchen, sondern um große Molekülzahlen handelt, wie solche bei makroskopischen Erscheinungen in Betracht kommen. Dies sehen wir an folgenden, die Diffusion von Sauerstoff und Stickstoff betreffenden Beispiel. Denken wir uns in atmosphärischer Luft von normaler Dichte eine Kugelfläche von Radius a gezogen und fragen wir, innerhalb welcher Zeiträume eine teilweise Entmischung von selbst eintreten pflegt, so war das der Sauerstoff in jenen Volumen eine um 1% höhere Konzentration annimmt als die normale.

Die Anzahl der Moleküle, welche jene Kugelfläche pro Zeiteinheit von Innen nach Außen oder umgekehrt durchströmen, ist $\frac{(n+v) C \sqrt{3}}{a \sqrt{2\pi}}$ (wenn n die momentane Anzahl der ~~Moleküle~~ O_2 -Moleküle in der Kugel, v die normale Anzahl derselben bedeutet). Somit ist - in Analogie zum vorhergehenden Falle - der respektive Wert dieses Ausdrucks gleichbedeutend mit der durchschnittlichen Dauer des n -Zustands und die durchschnittliche Wiederkehrzeit nimmt bei Einsetzen der Näherungsunterstellung für $(W(n))$ die Formel (1) die Gestalt an:

$$\theta_1 = \frac{2\pi}{C \sqrt{3v}} e^{\frac{v\delta^2}{2}} \quad (23)$$

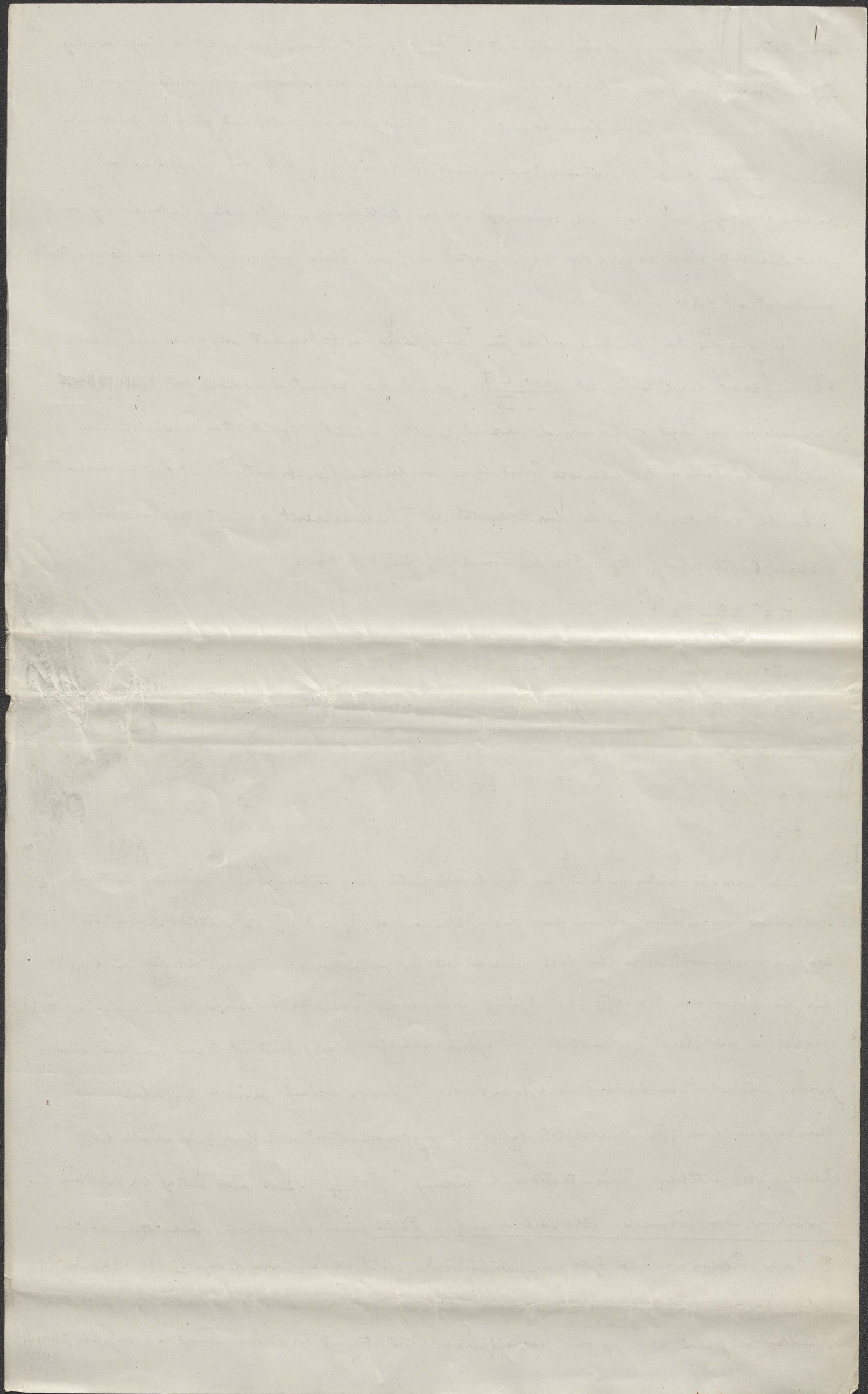
Setzt man also die Zahl der Gas-moleküle pro Volumeneinheit gleich $3 \cdot 10^{19}$ und nimmt man $C = 4 \cdot 8 \cdot 10^4$, $\delta = 0.01$ an, so folgen für verschieden große Kugelflächen Werte von folgender Größenordnung:

$a =$	1	$3 \cdot 10^{-5}$	$2.5 \cdot 10^{-5}$	$1 \cdot 10^{-5}$ cm.
$\theta_1 =$	$10^{(10^{14})}$	10^6	1	10^{-11} Sek.

Diese kolossalen Unterschiede in den Wiederkehrzeiten jenes teilweisen Entmischungszustands erklären uns hinreichend, warum man die Diffusion von O_2 und N_2 für sichtbare Raunteile als ganz irreversibel betrachten darf, während sie in mikroskopisch kleinen Gebieten durchaus nur den reversiblen Charakter der zufällig wechselnden Konzentrations schwankungen zur Schau trägt.

Da für das Resultat wesentlich der Exponentialfaktor maßgebend ist, kann man mit einer gewissen, sehr rohen Annäherung auch sagen: der Diffusionsverlauf erweckt den Schein thermodynamischer Irreversibilität, falls der Ausgangszustand erheblich ausserhalb des Bereiches der mittleren Konzentrations schwankung $\delta = \frac{1}{\sqrt{N}}$ fällt. Der Betrag der mittleren Schwankung eines Parameters gibt auch in andern Fällen einen ungefähren Anhaltspunkt über

*) Dieses Problem war schon öfters aufgeworfen worden (z.B. Doltzmann Ann. d. Phys. 60, 392, 1897). Den ersten provisorischen Versuch einer quantitativen Schätzung hatte ich von einer andern, mehr hypothetischen Grundlage ausgehend a.a.O. gegeben; das allgemeine Bild stimmt der Größenordnung nach ungefähr überein.



den Bereich der Irreversibilität.

Bei präziserer Ausdrucksweise muss man sich aber an die Regel halten: Irreversibel } erscheint
Reversibel }
ein Vorgang, wenn der Anfangszustand eine im Verhältnis zur Beobachtungsdauer $\left\{ \begin{array}{l} \text{lange} \\ \text{Kurve} \end{array} \right\}$ Wiederkehrzeit besitzt. Diese Regel ist gleichzeitig für die Gültigkeitsgrenzen des Entropiesatzes massgebend, da ~~die~~ die Behauptung von dem fortwährenden Wachsen der Entropie nur in dem irreversiblen Bereich (und auch da nur scheinbar) berechtigt ist.

Ausser in der hier betrachteten Weise kann man übrigens das Problem auch etwas anders formulieren, wenn man nämlich den anfänglichen Zustand des Systems unbestimmt lässt und nur annimmt, dass derselbe dem thermodynamischen Gleichgewicht entspricht. Ob dann ein gewisser - eventuell thermodynamisch abnormaler - Zustand innerhalb der zu Gebote stehenden Zeit von selbst eintritt dürfte, beurteilt man nach der Länge der „wahrscheinlichen Erwartungszeit“ desselben. Darunter verstehen wir den Durchschnitt der Zeiträume, welche von einem beliebigen Nicht-n-Zustand an bis zum nächsten Eintritt des n-Zustandes verstreichen (wobei die Durchschnittsbildung sich auf sämtliche Zeitpunkte bezieht, wo ein Nicht-n-Zustand herrscht).

Für jene wahrscheinliche Erwartungszeit θ_2 listen wir, im Gegensatz zu (16), ~~hier~~ die Definitionsgleichung ab:

$$\theta_2 = \tau \frac{M_1 + (1+2) M_2 + (1+2+3) M_3 + \dots}{M_1 + 2M_2 + 3M_3 + \dots} \quad \dots \dots \dots (24)$$

doch ist die Berechnung solcher Ausdrücke wesentlich komplizierter. Daher soll auf dies aber hier nicht näher eingegangen werden, umso mehr als in einer zahlreichen Klasse von Fällen θ_2 sich ohnehin auf θ_1 reduziert. *)

Zusammenfassung: 1). Es werden Formeln entwickelt, welche in Übereinstimmung mit den Svedberg'schen Messungen die zeitliche Veränderlichkeit der Konzentrationschwankungen einer kolloidalen Lösung darstellen.

2). Es wird der Begriff der durchschnittlichen Wiederkehrzeit definiert und hierdurch wird ein Kriterium für die Gültigkeitsgrenzen des thermodynamischen Irreversibilitätsbegriffes gewonnen, welches auch den Reversibilitätsbereich der Diffusion von Sauerstoff und Stickstoff genau umgrenzt.

Wien, im August 1915.

*) Weitere diesbezügliche Einzelheiten werden in der zweiten der beiden eingangs erwähnten Arbeiten besprochen.



Faint, illegible handwriting covering the upper portion of the page.

Faint, illegible handwriting covering the middle portion of the page.

Faint, illegible handwriting covering the lower portion of the page.

IX
[70]

Faint, illegible handwriting at the bottom of the page.

[Faint, illegible handwriting throughout the page, likely bleed-through from the reverse side.]

1
6
7

all

X

nämlich für statische Systeme ~~ist~~ ^{dem Aufgab} diese Lösung ~~das~~ durch die Formeln der gewöhnlichen Ornstein'schen Bewegung dargestellt. Ausserdem ~~ist~~ ^{vor} ~~vor~~ ^{noch} ein zweites Beispiel ~~gelöst~~ ^{*)} ~~gelöst~~ ^{gelöst}, welches ~~System~~ ^{System} betreffend Systeme in denen ~~die~~ ^{die} Stabilität durch eine elastische Kraft hervorgerufen wird. Dasselbe bietet theoretisch grosses Interesse, da man daran zum ersten Mal den ^{allmählichen} Übergang zwischen dem mechanisch irreversiblen Verhalten und der reversiblen ungedämpften Molekularbewegung verfolgen konnte ist aber experimentell bisher nicht realisiert worden.

(§2. Ableitung der Grundformeln.)
 In dem vorliegenden Falle untersuchen wir vorerst, mit welcher Wahrscheinlichkeit ^{$W_n(t, k)$} zu erwarten ist, dass eine ^(in dem betrachteten Volumen) ~~anfangs~~ ^{anfängs} bestehende Teilchenschicht ~~n~~ ⁿ nach Ablauf eines ~~t~~ ^{gegebener Zeit} t -Intervalls um ~~k~~ ^{k} Einheiten ~~wach~~ ^{wach} ~~verändert~~ ^{verändert} wird. Eine solche ~~Änderung~~ ^{Änderung} ~~besteht~~ ^{besteht} aus dem Austritt von ~~i~~ ^{i} Teilchen und Eintritt von ~~$i+k$~~ ^{$i+k$} in unserm Teilchen ~~besteht~~ ^{besteht}. Wenn die Wahrscheinlichkeiten dieser ~~i~~ ^{i} ~~und~~ ^{und} ~~$i+k$~~ ^{$i+k$} Austrittsereignisse durch ~~A_i~~ ^{A_i} ~~bezeichnet~~ ^{bezeichnet} werden, ~~so~~ ^{so} ~~erhalten~~ ^{erhalten} infolge der Unabhängigkeit der Bewegungen der einzelnen Teilchen:

$$W_n(t, k) = \sum_{i=0}^{i=n} A_i E_{i+k} \tag{3}$$

Um nun die ~~A~~ ^{A} ~~Wahrscheinlichkeit~~ ^{Wahrscheinlichkeit} zu berechnen, nehmen wir vorerst an, dass sich in der ~~Schicht~~ ^{Schicht} ein einzelnes Teilchen befindet; dann sind für dasselbe alle Abszissen von $x=0$ bis $x=h$ gleichwahrscheinlich. Dasselbe ~~nach~~ ^{nach} gemäss den Formeln für Ornstein'sche Bewegung die Wahrscheinlichkeit, dass während der Zeit t eine Verschiebung ~~ξ~~ ^{ξ} ~~erfolgt~~ ^{erfolgt}, gegeben ist durch

$$W(\xi) d\xi = \frac{1}{\sqrt{2\pi} \sigma t} e^{-\frac{\xi^2}{2\sigma^2 t}} d\xi \tag{4}$$

oder die ~~Wahrscheinlichkeit~~ ^{Wahrscheinlichkeit} für den Austritt eines Teilchens aus der Schicht h nach der einen oder ~~anderen~~ ^{anderen} Seite hin ~~bestimmt~~ ^{bestimmt} wird durch:

$$P = 2 \int_0^h dx \int_x^\infty W(\xi) d\xi = 1 - \frac{2}{\sqrt{\pi}} \int_0^{\beta} e^{-y^2} dy + \frac{1}{\sqrt{\pi}} [1 - e^{-\beta^2}] \tag{5}$$

was durch ~~partielle Integration~~ ^{partielle Integration} wobei zur Abkürzung $\beta = \frac{h}{\sqrt{2\pi} \sigma t}$ gesetzt ist. Wenn aber in jener Schicht ~~nicht~~ ^{nicht} ein sondern n Teilchen vorhanden sind, so ~~ist~~ ^{ist} die Wahrscheinlichkeit, dass ~~i~~ ^{i} ~~ausstritten~~ ^{ausstritten} und die übrigen $(n-i)$ in derselben verbleiben, mit Rücksicht auf ~~alle~~ ^{alle} möglichen ~~Permutationen~~ ^{Permutationen} ~~bestimmt~~ ^{bestimmt} durch

$$A_i = \binom{n}{i} P^i (1-P)^{n-i} \tag{6}$$

Wäre uns andererseits die anfängliche Anzahl der Teilchen n gar nicht gegeben, sondern ~~wäre~~ ^{wäre} man ~~unter~~ ^{unter} Voraussetzung eines stationären Zustands ~~die~~ ^{die} Wahrscheinlichkeit ~~bestimmt~~ ^{bestimmt}, dass im Allgemeinen ~~der~~ ^{der} Austritt von ~~m~~ ^{m} Teilchen ~~(zu erwarten ist)~~ ^(zu erwarten ist), so wäre dies gegeben durch

$$\bar{A}_m = \sum_{n=m}^{\infty} W(n) A_{m,n} = \frac{(nP)^m}{m!} e^{-nP} \tag{7}$$

Wenn man dieselbe Formel ~~man~~ ^{man} ~~aber~~ ^{aber} auch für die Eintrittswahrscheinlichkeit ~~ermittelt~~ ^{ermittelt}, ~~so~~ ^{so} ~~erhalten~~ ^{erhalten} ~~man~~ ^{man} ~~die~~ ^{die} Formel ~~(7)~~ ⁽⁷⁾ ~~von~~ ^{von} der Anzahl der ~~bereits~~ ^{bereits} ~~vorhanden~~ ^{vorhanden} Teilchen ~~ganz~~ ^{ganz} ~~unabhängig~~ ^{unabhängig}.

$e^{-x} \frac{x^n}{n!}$	$n=1$	2	3	4	5	(17)	763
	$v=1.55 \cdot 0.4333$						271
	2172						27
	217						717
	06732	10598	1003	1003	1003		
	06732	7010	07528	04660	0542		
	1903	07528	09431	06563	02445		
	08635	4771	4771	6021	6990		
		4202	04660	0542	05455		

$\sum y e^{-y} = 0.3268 - 1$	0.3268 - 1	0.5171 - 1	0.4064 - 1	0.1196 - 1	0.7078	0.9084	3205
29093	1003	1003	1003	1003	1003	1003	1003
20364	05171 - 1	07074 - 1	05967	03099	08981	0987	5108
	27093	7010	4771	6021	6990	7782	8451
1087	22264	04064 - 1	01196 - 1	07078 - 2	01991 - 2	3205	6657
1684	7093	7093	7093	7093	7093		
1306	1684	21157	18289	14171	09084		
674		1306	6743	2613	810	209	0463
261							
810							
209							
046							
009							
001							

353	5119	5623	3118	8865
	0361	0361	0761	0761
	5480	5984	223 3479	832 9226
397	3729	5490	3962	0492
	2264	2264	2264	2264
	5999	7754	42 6226	189 2756
2330	5079	5079	4440	1761
1157	1157	1157	363 1157	196 1157
223 3487	6236	6236	5597	2918
0934 0934	4472	4472	4624	2672
0261 8289	8289	8289	195+ 8289	125 8289
1295 9223	2761	2761	2913	0961
9542	9542	7747	4579	7304
0361	4171	63 4171	750 4171	559 4171
9903	3713	7918	8750	7475
8129	8129	2945	0.274	0.234
0361	8084	8084	2192	1872
8590	7213	2029	22	19

$W(0.6) = 0.00093$
 $W(0.7) = 0.00015$
 $W(0.7) = P(W(0.7)) + (1-P)W(0.6)$
 $= W(0.6) - P(W(0.6) - W(0.7))$
 $W(0.7) = 0.00036 \cdot 168$
 $\frac{504}{1008}$
 0.0006
 0.06

0.678
 536
 26
 78
 34
 21.78
 156

da H im stationären Zustand der Vorgang des Aus- und Eintritts gleichberechtigt ist. Daher

nimmt nunmehr die Formel (3) die umgekehrte Gestalt an:

$$W_n(+k) = e^{-vP} \sum_{m=0}^{m=n} \binom{n}{m} (1-P)^{n-m} P^m \frac{(vP)^{m+k}}{(m+k)!} \quad (8)$$

und analog erhält man für die Wahrscheinlichkeit einer Verminderung der ursprünglichen Teilchenzahl n um k Einheiten:

$$W_n(-k) = e^{-vP} \sum_{m=k}^{m=n} \binom{n}{m} (1-P)^{n-m} P^m \frac{(vP)^{m-k}}{(m-k)!} \quad (9)$$

Auf Grund dieser Formeln lässt sich nun das durchschnittliche Quadrat der zu einer anfänglichen Teilchenzahl n gehörigen Änderung bilden:

$$\overline{\Delta_n^2} = \sum_{k=0}^{k=n} k^2 W_n(-k) + \sum_{k=1}^{\infty} k^2 W_n(+k)$$

Bei geeigneter Anordnung lassen sich die Summationen ausführen und ergibt das einfache Resultat:

$$\overline{\Delta_n^2} = (P^2 [(n-v)^2 - n] + (n+v)P)$$

woraus schließlich für eine unbestimmte Anfangszahl n (das allgemeine Änderungsquadrat (mit Rücksicht auf (8)))

resultiert:

$$\overline{\Delta^2} = \sum_{n=0}^{n=\infty} W(n) \overline{\Delta_n^2} = 2vP \quad (11)$$

In ähnlicher Weise erhält man das durchschnittliche Ostrog der im Intervall t erfolgenden Änderung:

$$\overline{\Delta_n} = (v-n)P$$

Löst man hierbei sämtliche Zahlen n nach Messgabe des Häufigkeitswertes (1) aus, so resultiert natürlich der allgemeine Durchschnittswert Null:

$$\overline{\Delta_n} = \sum_{n=0}^{\infty} W(n) \overline{\Delta_n} = 0$$

Wobei man die Diskussion dieser Resultate ~~übergehen~~ so bemerken wie vor allem, dass die Formel (12) genau mit dem Resultat übereinstimmt, welches für unseren Fall die gewöhnliche Diffusionstheorie liefern würde. ~~Die Abweichung~~ (durchschnittlich im Intervall t erfolgender Änderung) ist proportional der "Konzentrationsdifferenz" $\frac{v-n}{h}$ des ~~äußeren~~ und inneren Mediums und der von t, h und D abhängigen Proportionalitätsfaktor P ist mit dem durch die Diffusionstheorie folgenden identisch. Dies ist auch verständlich, da die Formel (1) das Quellen-Integral der Diffusionsgleichung (bildet) und physikalisch unser Beispiel (die mikroskopische Analyse des Diffusionsvorgangs darstellt).

Dagegen ist (11) mit der Einstein'schen Formel der Brownschen Bewegung $\overline{\Delta x^2} = 2Dt$ in Parallele zu setzen.

Die Abhängigkeit von der Zeit ist allerdings eine ganz andere; da es sich um ein statistisches System handelt, ~~ist~~ ~~des~~ ~~Wahrscheinlichkeitsquadrat~~ $\overline{\Delta^2} = (v-n)^2 = [(v-n) + (n-v)]^2 = 2(n-v)^2$ ~~konvergiert~~ ~~mit~~ ~~der~~ ~~Zeit~~ ~~gegen~~ ~~einen~~ ~~festen~~ ~~Grenzwert~~; ~~das~~ ~~doppelt~~ ~~so~~ ~~groß~~ ~~ist~~ ~~als~~ ~~der~~ ~~Ostrog~~ ~~des~~ ~~Stoffes~~ ~~im~~ ~~Intervall~~ ~~Wahrscheinlich~~ $\overline{\Delta^2} = 2v$

[Faint, illegible handwriting throughout the page, likely bleed-through from the reverse side.]

[Marginal notes on the right edge, including a boxed section with illegible text.]

$$W_n(0) = e^{-\nu P} \left[\binom{n}{0} (1-P)^n \frac{\nu^0 P^0}{0!} + \binom{n}{1} (1-P)^{n-1} \frac{\nu^1 P^1}{1!} + \dots \right] = (1-P)^n e^{-\nu P} \left[\binom{n}{0} (1-P)^n \frac{\nu^0 P^0}{0!} + \binom{n}{1} (1-P)^{n-1} \frac{\nu^1 P^1}{1!} + \dots \right]$$

§ 3. Diskussion und Vergleich
mit Lindbergs Messung

[Faint, illegible handwriting throughout the page, likely bleed-through from the reverse side.]

somit würde die Formel (20) den Erwartungswert Null ergeben.

Es wurde jedoch schon oben darauf hingewiesen, dass für so kurze Zeiten die Formel (15) an Stelle von (14) zu treten hat und hierdurch geht (20) über in

$$\lim_{t \rightarrow 0} \theta_1 = \frac{h \sqrt{6a}}{2(n+v)C} \frac{1-W(t)}{W(t)} \quad (22)$$

In jenen Versuchen bestimmt sich die mittlere ~~Lebensdauer~~ ^{Wahrscheinlichkeit} ~~der Teilchen~~ ^{der Teilchen} C aus der Masse derselben ~~...~~ ^{...}

$$C = \frac{3 H \Phi^2}{NM}$$

zu $C = 26 \frac{cm}{sek.}$

und damit würde ~~die Wirkkurve~~ ^{sich} ~~(bei kontinuierlicher Beobachtung zu 161 Tagen ergeben)~~ ^{die Fall n=17)} Es lässt sich aber in ganz einfacher Weise ~~...~~ ^{...} (die durchschnittliche Dauer T_1 eines Zustandes ~~...~~ ^{...})

$T_1 = 9 \cdot 10^{-7}$ Sek. beläuft ~~...~~ ^{...} (dieser sprach vorübergehend Rückkehr zu Seite 17)

Wäre es ~~...~~ ^{...} glaubt, dass es sich nicht lohnt, und ~~...~~ ^{...} den Vorgang für praktisch irrelevant halten.

Wäre ~~...~~ ^{...} die Grenze zwischen dem Gebiet der ~~...~~ ^{...} Diffusion und der ~~...~~ ^{...} Konzentrationsschwankungen) ausgeprägt, wenn es sich nicht um einige wenige Teilchen, sondern um große Molekülzahlen handelt, wie ~~...~~ ^{...} mikroskopischen Versuchen in Betracht kommen.

Dies wird uns ~~...~~ ^{...} ein Beispiel klar machen, das ~~...~~ ^{...} die Diffusion von Sauerstoff und Stickstoff betrifft. Denken wir uns ~~...~~ ^{...} in atmosphärischer Luft von normaler Dichte eine Kugelfläche vom Radius a gegeben und fragen wir, innerhalb welcher Zeit ~~...~~ ^{...} eine teilweise selbsttätige Entmischung insentreten pflegt, so war dass der Sauerstoff im inneren Volumen eine um 1% höhere Konzentration annimmt als die normale.

Die Anzahl der pro ~~...~~ ^{...} Kugelfläche von innen nach aussen oder umgekehrt durchströmten, ist

$$\frac{(n+v) C \sqrt{t}}{a \sqrt{2a}} \quad (\text{wenn } n \text{ die Gesamtzahl der Sauerstoffmoleküle in der Kugel, } v \text{ die normale Anzahl derselben ist - in Analogie zum vorstehenden Fall})$$

somit ~~...~~ ^{...} (der respective Wert ~~...~~ ^{...} Ausdruckes gleichbedeutend mit der durchschnittlichen Dauer des n Zustandes und der ~~...~~ ^{...} Wirkkurve) nimmt bei Einsetzen die Näherungsgleichung für $W(n, t)$ die Form an:

$$\theta_1 = \frac{2a}{C \sqrt{3v}} e^{-\frac{v^2 t}{a^2}} \quad (25)$$

Setzt man also die Zahl der Gasmoleküle pro Volumeneinheit gleich $3 \cdot 10^{19}$ und nimmt man $C = 48 \cdot 10^4$, $\delta = 0.01$ an so folgen für verschiedene große Kugelflächen ~~...~~ ^{...} folgende ~~...~~ ^{...} Werte von ~~...~~ ^{...} θ_1 :

a =	1 mm	$3 \cdot 10^5$ cm	$25 \cdot 10^5$	$\approx 1 \cdot 10^5$ cm
$\theta_1 =$	$10^{(10^{14})}$	10^6	1	10^{11} Sek.

Diese kolossalen Unterschiede ~~...~~ ^{...} in der Wirkkurve eines ~~...~~ ^{...} Zustands erklären uns hinreichend, warum man die Diffusion von O_2 und N_2 für sichtbare Raumteile ~~...~~ ^{...} als fast irreversibel betrachten darf, während sie für in mikroskopisch kleinen Sektoren ~~...~~ ^{...} durchaus nur den reversiblen Charakter der ~~...~~ ^{...} Konzentrationschwankungen zur Schar trägt.

*) Dieses Problem war schon öfters aufgeworfen worden (siehe Ostw. - Ann d. Ph. 60, 392 (1897)). ~~...~~ ^{...} prozess ist ein ~~...~~ ^{...} innerer Prozess ~~...~~ ^{...} anderer, mehr hypothetischer Grundlage, ~~...~~ ^{...} 200. gegeben; dies allgemeine Bild der Erösungswahrscheinlichkeit nach myofischer Theorie.

1871

Received of Mr. J. H. ...
the sum of ...
for ...

Received of Mr. J. H. ...
the sum of ...
for ...

Received of Mr. J. H. ...
the sum of ...
for ...

also

